

A. B. 康德拉什科夫 著

国家測繪总局技术处 译

# 光干涉及其在 測量中的应用

中国工业出版社

王平，男，1963年生，中  
國美術學院碩士學位，現

## 王平涉及藝術 評論中的應用

中國工筆畫研究

# 光干涉及其在測量中的应用

A. B. 康德拉什科夫 著

国家测绘总局技术处 译

中国工业出版社

本书阐述了光干涉現象及其在測量中的应用等有关問題；系統地叙述光干涉現象，詳細地介紹了光干涉和各种类型的干涉仪应用在长度測量方面的发展过程及其成就。对在室内和室外条件下用干涉检定仪检定基綫尺及对24米以上长距离的野外干涉測量方法的介紹尤为詳尽。

本书供高等测繪院系天文大地专业和仪器制造专业师生、有关科研人員和专业人員参考。

А. В. Кондратков

Интерференция света и ее применение в  
геодезии

Под общей редакцией профессора В. А. Баринова

Геодезиздат

Москва 1956

\* \* \*

## 光干涉及其在測量中的应用

国家测繪总局技术处譯

\*

国家测繪总局测繪书刊編輯部編輯 (北京三里河国家测繪总局)

中国工业出版社出版 (北京復興路丙10号)

(北京市书刊出版事业局印出字第110号)

中国工业出版社第四印刷厂印刷

新华书店北京发行所发行·各地新华书店經售

\*

开本850×1168<sup>1/32</sup>·印张6<sup>1/16</sup>·插頁2·字数153,000

1962年11月北京第一版·1963年9月北京第二次印刷

印数1,601—2,208·定价(10-7)1.10元

\*

统一书号：15165·1572 (测繪-26)

## 原序

現时，在科学和技术方面，为了各种不同的目的，已广泛地利用光干涉。根据这一現象而制成的仪器，也已广泛地用于物理学上的各种各样的检验，以及光学机械工业、机器制造业和精密仪器制造业的仪器零件質量与規格的检查。在天文测量方面，则采用干涉仪测定恒星的直径与双星組成部分間的距离。在大地測量方面，也采用根据光干涉現象而制成的仪器来进行最精确的長度測量。

透明介質折射率的測定、高度鉴别力的光譜仪以及各种不同光学零件光反射系数的縮小，也都广泛地利用这一現象。

用干涉仪測量長度具有很高的精度，这种高精度使長度单位(米)必須改变为与光波長度有关的另一单位。

革命前的俄国，由于沒有自己的光学机械工业，同时机器制造业也不发达，因而干涉装置主要只用于物理試驗而已。

只有在伟大的十月社会主义革命以后，才有可能广泛地研究、改进和制造各种各样的干涉仪。

科学院院士Д.С.罗日捷斯特文斯基、С.И.瓦維洛夫、А.А.列別捷夫、В.П.林尼克和技术科学博士 М.Ф.罗蒙諾索娃教授在研究这些仪器的构造和应用方面作出了巨大的貢献。

中央測繪科学研究所开始在О.Г.季茨教授、Г.В.瓦尔里赫和У.О.什瓦尔茨的領導下，后来又在В.В.达尼洛夫教授的繼續领导下对这一問題进行了許多工作，創造了一种干涉检定仪，可用来測量24米殷鋼基綫尺(用于精密大地基綫測定)的長度。

关于光干涉在測量上的应用問題，目前只在期刊的論文和各科学硏究机关的文集中进行闡述。至于有关利用光干涉現象以測量長度的某些問題，則在普通物理光学教程中单独講述。

著者力图系統地叙述光干涉現象及其在長度測量上的应用，

特别是在大地測量方面的应用，借以促进最精确的长度測量新方法在实际測量作业中的应用，并使之获得进一步的发展。

同时，著者也希望本书能作为高等測量学校的学生閱讀“專門物理学”教程时的参考书。本书选择材料时就是以这两种想法为依据。

全书共三篇。第一篇講述有关測量长度时所应用的光干涉和光衍射現象、干涉仪系統及光源的必要物理光学知識。本书講述这些問題，是为了使測量員和大学生等讀者們不必再去參閱各种物理光学教程和專門书籍。

本书第二篇对利用光干涉現象測量一米以內和一米以上的长度問題进行了必要的叙述。欲懂得用干涉法測量长距离，以及欲变现有长度单位为新单位时能得到正确的变换关系，都必須熟悉这些問題。

第三篇叙述了在大地測量中利用光干涉測量長度的問題。

著者对本书的校閱者技术科学博士 B.A. 巴林諾夫教授、莫斯科測繪工程学院物理教研室主任 A.Г. 穆拉維耶夫教授、大地測量教研室 B.H. 拉賓諾維奇副教授、仪器制造教研室 C.B. 耶利謝也夫副教授，以及評閱者莫斯科物理工程学院物理教研室 E.П. 奧斯姆洛夫斯卡雅副教授和中央測繪科學研究所高級研究員 B.M. 納札洛夫致以衷心的感謝，由于他們提出了宝贵的意見，使本书有了很大的改进。

# 目 录

## 原 序

### 第一篇 物理光学简述

<b>第一章 光干涉</b> .....	<b>6</b>
§ 1. 光振动 .....	6
§ 2. 光干涉 .....	12
§ 3. 夫累涅耳鏡 .....	18
§ 4. 牛頓环 .....	20
<b>第二章 矩形板和楔形板中的干涉現象</b> .....	<b>22</b>
§ 5. 等傾帶 .....	22
§ 6. 等厚帶 .....	25
§ 7. 干涉光線多次反射时干涉花样中亮度的分布 .....	28
§ 8. 两矩形板中的干涉現象 .....	32
<b>第三章 光之衍射</b> .....	<b>36</b>
§ 9. 概述 .....	36
§ 10. 惠更斯-夫累涅耳原理 .....	37
§ 11. 弗朗戈菲之方孔衍射 .....	39
§ 12. 双方孔衍射时之干涉 .....	45
§ 13. 光源大小、方孔大小和两孔間隔对于干涉花样的影响 .....	48
<b>第四章 干涉測量的光源。光譜線的構成及其對長度干涉     測量的影响</b> .....	<b>51</b>
§ 14. 干涉測量的光源 .....	51
§ 15. 光譜線的寬度 .....	54
§ 16. 光譜線的复杂結構 .....	57
§ 17. 光波的有效長度 .....	61
<b>第五章 干涉儀</b> .....	<b>64</b>
§ 18. 迈克尔逊干涉仪 .....	64
§ 19. 法布利和珀罗干涉仪与标准尺 .....	67
§ 20. 瑞利干涉仪 .....	70

## 第二篇 光干涉現象在長度測量中的应用

<b>第六章 長度干涉測量法 .....</b>	<b>72</b>
§ 21. 絶対和相対干涉測量 .....	72
§ 22. 用等傾环测定法布利和珀罗标准尺的长度 .....	73
§ 23. 小数部分一致法 .....	75
§ 24. 根据等厚带测定端度尺之长 .....	77
§ 25. 长度絶対干涉測量的改正数 .....	81
§ 26. 由光学長度化算为机械長度的改正数以及由研合层的厚度而引起的改正数 .....	83
<b>第七章 距離光学倍乘法 .....</b>	<b>85</b>
§ 27. 用光学倍乘法測量大距离的原理 .....	85
§ 28. 法布利和珀罗标准尺之比較 .....	86
§ 29. 法布利和珀罗标准尺的长度与底面平行端度尺长度之比較	88
§ 30. 維埃夏廖距離光学倍乘法 .....	90
§ 31. 增大原距离的微分法 .....	93
<b>第八章 一米長度与光波長度之比較 .....</b>	<b>96</b>
§ 32. 概述 .....	96
§ 33. 国际度量衡局和日本用光波長度对一米長度所进行的測量 .....	98
§ 34. 英国国家物理試驗室和德国物理技术研究所用光波長度对一米長度所进行的測量 .....	100
§ 35. 門捷列也夫全苏度量衡科学研究所用光波長度对一米長度所进行的測量 .....	103
§ 36. 用全苏度量衡科学研究所大型水平干涉仪和用光波長度对一米長度所进行的測定 .....	108
§ 37. 光波——長度单位和長度标准 .....	112

## 第三篇 大地測量中的長度干涉測量法

<b>第九章 国外采用光干涉进行大地長度測量的情况 .....</b>	<b>119</b>
§ 38. 簡要历史資料 .....	119
§ 39. 維埃夏廖光干涉检定仪 .....	120

§ 40. 德国测量局密尤利哥及史篤拉-尤特赤光干涉检定仪	128
§ 41. 东京大地检定仪 5 米杆尺长度之干涉測定	133
§ 42. 25米殷鋼基綫尺长度之測定	134
<b>第十章 蘇聯在大地測量中采用光干涉进行長度測量 的情况</b>	<b>137</b>
§ 43. 历史簡录	137
§ 44. Г. В. 瓦尔里赫光干涉检定仪	139
§ 45. 中央測繪科学研究所野外干涉检定仪(第一型)	143
<b>第十一章 中央測繪科学研究所野外干涉檢定仪 (第二型)</b>	<b>148</b>
§ 46. 檢定仪的光学结构	148
§ 47. 野外检定仪 (ПИК-2) 概述	149
§ 48. 檢定仪的整置和調节	158
§ 49. 叶德林基綫尺在干涉检定仪上的检定	164
§ 50. 在室內条件下用干涉检定仪检定基綫尺的誤差来源 和精度	168
<b>第十二章 野外的長度干涉測量</b>	<b>174</b>
§ 51. 在野外条件下用干涉检定仪量定基綫尺的长度	174
§ 52. 24米以上距离之野外干涉測量	177
<b>參考文献</b>	<b>188</b>

# 第一篇 物理光学簡述

## 第一章 光 干 涉

### § 1. 光 振 动

光干涉、光衍射和光偏振諸現象証明，光的传播在很大程度上是适应于并且服从于物体內的所謂橫波的传播定律。物体內的橫波是由于物体質点在垂直于振动传播方向的平面中振动而形成的。

此外，还有一些光学現象，如物体发射和吸收光的現象，以及光的电化学作用，則不能用“光是連續波动的过程”的假說来解釋，而要用“光是流动微粒”的假說来解释。

于是，只有从不同角度来解释光本身的性質，才似乎有可能了解各种不同的光学現象。

长期以来，光的性質已为人們研究的对象。但是，由于光学現象的多样性和复杂性，使人們很难建立一种統一的理論，来准确地和全面地解释所有察覺到的光学現象。

关于光的學說，有过这样的历史时期，在这个时期中对于光的性質，同时存在着两种完全相反的看法。

同时，科学上也有过这样的时期，在这个时期里，关于光的性質問題，似乎已經得到了統一的彻底的解决。

經驗証明，发射光的物体会失去能量，吸收光的物体則会增加能量。

因此，光的传播与能量的轉化有关。能量的轉化可利用光的微粒來实现，也可通过波动來实现。

能量轉化既具有这样两种可能性，因而也就产生了两种关于光的學說——微粒說和波动說。

这两种學說差不多是在十七世紀末同时出現的，前者系牛頓

(1643—1727) 所建立，后者系惠更斯 (1629—1695) 所建立。由牛頓发展起来的光的微粒說，認為光是由发光体发射出来的一种特殊流动微粒。这一学說，在整个十八世紀最为流行。

由惠更斯建立的光的波动說，直至十九世紀該学說的定律已能确凿地說明光干涉、光衍射、光偏振和光双折射等現象以后，才得到了公認。若采用波动說，自然会引起依据什么样的介質进行振动的問題。惠更斯假定这种介質具有弹性体的性質。以后，便将这种介質叫做以太，并認為它是一种属于密度极小且具有弹性的固体。

上世紀七十年代，由麦克斯韦(1831—1879)建立了一种新的学說——光的电磁波說，它起而代替了光的机械波动說。按照麦克斯韦的学說，光乃是一种电磁振蕩，类似于电荷改变时所发生的电磁振蕩。

随后，П.Н.列別捷夫 (1866—1912) 和亨利·赫芝 (1857—1894) 等人用电磁波进行直接實驗，証明了各种波的性質都相同。这样，一方面最后确定了电磁振蕩的传播速度等于光的传播速度，另一方面又証实了电磁振蕩同样也具有反射、折射、干涉、衍射和偏振等現象，而形成这些現象所依据的定律，也和相应的光学現象所依据的定律一样。

这样，麦克斯韦的学說便确定了光学現象和电學現象的共同性，而这两种現象在以前被認為是完全不同的。

如前所述，光的波动說虽則相当圓滿地解释了光传播过程中所产生的一些光学現象，但对于解释物体发射光和吸收光的过程，亦即光和物体互相作用时所产生的現象，它却显得无能为力了。

在各元素、光化学反应和光电效应的光譜中所发现的規律性表明，由于光和物体的互相作用，物体并非不断地发出或者吸收光能，而是发出或吸收光能的最后部分，这一部分就是所謂光量子或光子，其大小与光振动的頻率成比例，而不取决于光振动的强度。光量子这一学說是由麦克斯·普朗克在廿世紀初首先提出

的。

由最近五十年发展起来的光的量子說，把光子的微粒性質和光子传播的波动性質互相联系在一起，从而使光的微粒說和光的波动說結合了起来。

就确定光干涉和光衍射現象中所发生数量关系來說，光振动不論是属于以太的弹性振动，或者是属于电磁的性質，都完全一样。为了解释这一現象，只要假定在其垂直于光綫传播的方向中，构成光波的諧振即可。

諧振可理解为繞  $O$  点均匀旋轉的矢量  $OA$  的端点沿  $Y$  軸投影之运动(图 1)。当該矢量不断旋轉时，其端点在  $Y$  軸上的投影点  $A_1$ ，便会在  $O$  点附近进行諧动。

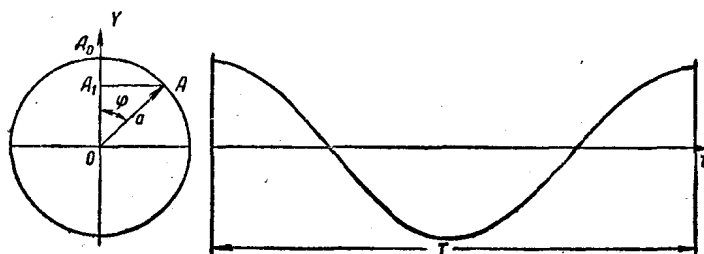


图 1 均匀轉動矢量时，矢量末端的投影所构成之諧动

众所周知，等于  $a$  值的矢量  $OA$  叫做振幅。矢量  $OA$  与  $Y$  軸的夹角  $\varphi$  叫做振动位相。

若以  $y$  表示点  $A_1$  与其中央位置  $O$  的距离(此距离随矢量的轉动而变化)，并以之作为  $\varphi$  的函数，即得：

$$y = a \cos \varphi. \quad (1)$$

若动点在时间  $t$  内从  $A_0$  移至  $A$ ，而以  $\varphi$  角确定  $A$  的位置，并令該点繞  $O$  点一整周所需的时间为  $T$ ，則：

$$\varphi = 2\pi \frac{t}{T}, \quad (2)$$

此时方程式(1)可写成如下形式：

$$y = a \cos 2\pi \frac{t}{T}. \quad (3)$$

$T$ 叫做振动周期，在这段时间内， $A_1$ 点由起始点出发，经过两极限位置，最后重返回原处。

$A_1$ 点的运动也可用直角坐标系表示，这时便可得出一条如图1右部所示的曲线。

如果振动开始而  $t=0$  时， $A$ 点的位相为  $\delta$ ，则方程式(3)可写成如下形式：

$$y=a \cos \left( 2\pi \frac{t}{T} + \delta \right). \quad (4)$$

方程式(3)中之振动周期为  $T$ ，通常以数值  $v=\frac{1}{T}$  代之，此值谓之振动频率，表示一点在单位时间内所完成的全振动数。这时，方程式(3)便可写成如下形式：

$$y=a \cos 2\pi vt. \quad (5)$$

若光所包含的振动仅为单频率  $v$ ，那末这种光即叫做单色光。就可见光谱范围而言，频率  $v$  在  $3.94 \times 10^{14}$  秒 $^{-1}$  至  $7.57 \times 10^{14}$  秒 $^{-1}$  之间。

空间的横向谐振传播可作如下理解。

设有一直线  $AN$ ，沿该线分布着许多点，它们的振动沿此直线而传播(图2)。

$A$ 点若在一时刻运动，那么由于各点间的相互联系，其右邻点稍后也会接着运动，依此类推。这样，所有各点将依次全部投入振动。图2， $a$  表示振动点在  $t=\frac{T}{4}$  时的位置，此时  $A$  点已达到了自己的第一个极限位置。若其时谐振传播到  $B$  点，则  $B$  点右边各点仍静止不动。

图2， $b$  表示各点在  $t=\frac{T}{2}$  时的位置。此时， $A$  点已完成全振动的一半， $B$  点完成了四分之一，而振动过程已传播到了  $C$  点。在图上，箭头表示以后各时刻内质点的运动方向。

图2， $c$  表示  $t=\frac{3}{4}T$  时各点的位置。此时  $A$  点已到达第二

个极限位置，而  $D$  点则刚刚开始振动。

图 2, r 表示  $A$  点从开始振动起经过时间  $T$  以后所达到的位置。这时， $A$  点已完成了一次全振动， $C$  点完成了全振动的一半，而振动已传播到了  $E$  点。

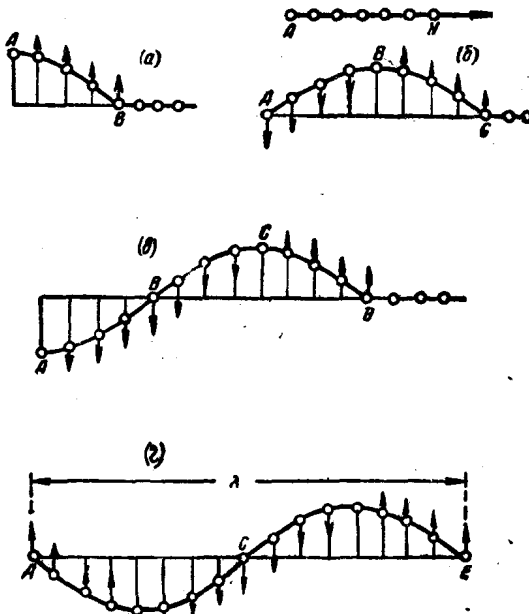


图 2 橫波的形成

此时， $A$  点和  $E$  点开始同时振动，它们具有同一的方向速度，并处于相同的位相中。

显然，以后  $A$  点和  $E$  点的振动将会相同。

在时间  $T$  内振动位相所传播的距离  $AE$  叫做波长，通常以希腊字母  $\lambda$  表之（图 2）。

若以  $v$  表位相速度，即表振动位相在某一介质中的传播速度，则：

$$\lambda = vT. \quad (6)$$

如顾及  $\frac{1}{T} = v$ ，即可看出，波长既与周期  $T$  或振动频率

有关，同时也与介質的性質有关。

茲以  $c$  表光在真空中速度，而以  $v$  表光在某一介質中的速度，那么下述关系式

$$n = \frac{c}{v}$$

就叫做介質的折射率。

显然， $v = \frac{c}{n}$ . (7)

若以  $\lambda_n$  表光波在折射率为  $n$  的介質中的长度，而以  $\lambda$  表光波在真空中长度，那么由

$$\lambda = cT, \quad (8)$$

即得， $\lambda_n = \frac{\lambda}{n}$ . (9)

对于可見光來說，由光譜的紫端到紅端的  $\lambda$  之值，在 0.396—0.760 微米之間。

若由振源  $S$  (图 3) 所引起的振动在时间  $t$  内传播到  $M$  点，则該点在时刻  $t$  所看到的振动可用方程式(3)表示之：

$$y = a \cos 2\pi \frac{t}{T}.$$

在同一时刻  $t$ ，在与  $M$  点的距离为  $x$  的一点  $M_1$ ，可以看到下述振动：

$$y = a \cos \frac{2\pi}{T} \left( t - \frac{x}{v} \right),$$

或  $y = a \cos \frac{2\pi}{T} \left( t - \frac{nx}{c} \right).$  (10)

光程的几何长度  $x$  和光在其中传播的介質的折射率  $n$  之乘积  $nx$ ，叫做光程的光学长度。



图 3 推求彼此距离为  $x$  的两点的振动方程式之图示

按照第(8)式，方程式(10)可化为：

$$y = a \cos 2\pi \left( \frac{t}{T} - \frac{nx}{\lambda} \right) \quad (11)$$

$A_1$ 点完成谐振时的运动速度 $V$ ，可由光程关于时间的导数而求得：

$$V = \frac{dy}{dt} = -2\pi v a \sin 2\pi v t.$$

进行谐振的质点在一周期内的平均动能 $J$ ，显然可由下式算得：

$$J = \frac{m}{2T} \int_0^T V^2 dt,$$

$$\text{或} \quad J = m\pi^2 v^2 a^2, \quad (12)$$

亦即：频率为 $v$ 的振动，其能量与振幅 $a$ 的平方成比例。

## § 2. 光干涉

如果两光波或两光线同时射至空间某一点上，则此点的光扰动等于每一光波单独引起的扰动之代数和。

由惠更斯首先提出的这一事实，就是著名的迭加原理。

我们认为互相迭加的光线之夹角甚微，所以光的振动可认为在同一方向进行。

令下列同一周期的光振动达到空间的某一点：

$$y_1 = a_1 \sin \varphi_1, \quad y_2 = a_2 \sin \varphi_2, \quad \dots, \quad y_n = a_n \sin \varphi_n.$$

兹求出：在所有到达此点的振动的影响下，此点所完成的光波振动的振幅。

如前所述，每一振动可理解为均匀转动着的矢量（其值为 $a_1, a_2, a_3, \dots, a_n$ ）末端的投影沿着垂直轴的运动。

当这些振动在某一时刻 $t$ 同时单独作用时，振点将位于Y轴 $A_1, A_2, A_3, \dots$ 等处（图4）。

此时：

$$OA_1 = n p_y a_1,$$

$$OA_2 = n p_y a_2,$$

$$OA_3 = n p_y a_3,$$

$$OA_n = np_y a_n.$$

根据迭加原理，一点在所有到达該点的振动的影响所获得的位置，将决定于Y轴上的OA綫段：

$$OA = OA_1 + OA_2 + OA_3 + \dots + OA_n$$

令  $OA = np_y a$ ，便可写出：

$$np_y a = np_y a_1 + np_y a_2 + np_y a_3 + \dots + np_y a_n.$$

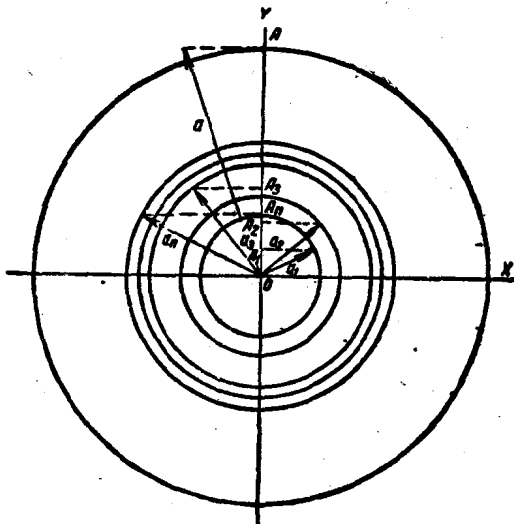


图 4 同周期谐振的构成

因为这一关系适合于任何时刻，故若令合振动的振幅等于  $a$ ，而令其位相为  $\varphi$ ，則有

$$y = y_1 + y_2 + y_3 + \dots + y_n$$

$$\text{或 } a \cos \varphi = a_1 \cos \varphi_1 + a_2 \cos \varphi_2 + a_3 \cos \varphi_3 + \dots + a_n \cos \varphi_n.$$

若将每一矢量投影于  $x$  軸，則可得出：

$$np_x a = np_x a_1 + np_x a_2 + np_x a_3 + \dots + np_x a_n,$$

$$\text{或 } x = x_1 + x_2 + x_3 + \dots + x_n,$$